

1 DOI: xxx

2 Dos demostraciones de la existencia de las
3 (k, g) -jaulas

4 Julio César Díaz-Calderón
5 Instituto de Matemáticas - Campus Juriquilla
6 Universidad Nacional Autónoma de México
7 julio_dc@ciencias.unam.mx

8 y
9 Diego González-Moreno
10 Departamento de Matemáticas Aplicadas y Sistemas
11 Universidad Autónoma Metropolitana - Cuajimalpa, México
12 dgonzalez@cua.uam.mx

13 **1. Introducción**

14 En matemáticas, la necesidad de probar la existencia de objetos fomen-
15 ta el desarrollo de ideas y de técnicas para hacerlo. La demostración de
16 la existencia de ciertos objetos matemáticos puede ser un asunto muy
17 complicado, por lo que hacerlo es motivo de celebración. En este artícu-
18 lo estudiaremos la existencia de uno de esos objetos matemáticos que
19 surge en la teoría de las gráficas (o grafos) y es conocido como jaulas.

20 En teoría de las gráficas hay una categoría de problemas del siguiente
21 tipo: dadas las funciones (parámetros) f_1, f_2, \dots, f_k con dominio en el
22 universo de las gráficas y los valores c_1, c_2, \dots, c_k para estas funciones,
23 ¿existe una gráfica G para la cual $f_1(G) = c_1, f_2(G) = c_2, \dots, f_k(G) =$
24 c_k ?

25 Ahora, si se prueba que existen gráficas que cumplen con los valores
26 de las funciones, una pregunta que se hacen las personas que investigan
27 ésta área es encontrar es el mínimo número de vértices que tiene una
28 de ellas.

29 En este trabajo hablaremos de un problema de esta naturaleza: la
30 existencia de las jaulas. Para ello se consideran dos funciones clásicas
31 de las gráficas: la regularidad y el cuello.

Recordemos, una *gráfica* G es una estructura compuesta por un conjunto $V(G)$ de vértices (o nodos) y un conjunto $E(G)$ de aristas (o enlaces) que conectan pares de vértices. El *orden* de G es la cardinalidad de $V(G)$. El *grado* de un vértice es el número de aristas incidentes a el y dos vértices son *adyacentes* si están conectados con una arista. Una gráfica G es *k -regular* si todos sus vértices son tienen grado k . Un *ciclo* en una gráfica G es una sucesión de vértices adyacentes comienza y termina en el mismo vértice y que no repite aristas o vértices (excepto el inicial y el final). El *cuello* de G es la longitud más pequeña de un ciclo de G .

Dados dos enteros $k \geq 2$ y $g \geq 3$, una (k, g) -gráfica es una gráfica k -regular con cuello g . En la figura 1 se muestra una $(3, 4)$ -gráfica. Una (k, g) -jaula es una (k, g) -gráfica con el menor número posible de vértices. Observa que la existencia de las (k, g) -gráficas implica la existencia de las (k, g) -jaulas.

La pregunta de existencia en este problema es ¿para todo par de enteros $k \geq 2$ y $g \geq 3$, existe una (k, g) -gráfica? Y si existe una (k, g) -gráfica, ¿cuántos vértices tiene la (k, g) -jaula?

En este trabajo utilizaremos $\nu(k, g)$ para denotar al orden de una (k, g) -jaula. Se puede ver que las $(2, g)$ -jaulas son los ciclos de longitud g , lo cual implica que $\nu(2, g) = g$. También se puede ver que las $(k, 3)$ -jaulas son gráficas completas con $k + 1$ vértices, es decir, K_{k+1} y $\nu(k, 3) = k + 1$. Además, la gráfica bipartita completa $K_{k,k}$ es la $(k, 4)$ -jaula y por lo tanto $\nu(k, 4) = 2k$.

Aunque para algunas parejas de enteros k y g se puede encontrar una (k, g) -gráfica, no es claro que esto se pueda hacer para toda pareja (k, g) . La prueba de la existencia de las jaulas no es inmediata, y fue probada por primera vez en 1963 por Sachs [7]. Muy poco tiempo después Erdős en conjunto con el mismo Sachs [5] dió una demostración diferente de su existencia. Es curioso ver que estos dos artículos, donde se probó la existencia de las (k, g) -gráficas, se hacen referencia cruzada entre sí.

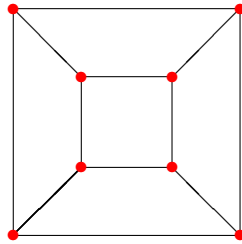


Figura 1. $(3, 4)$ -gráfica de orden 8

En este trabajo presentamos dos demostraciones de la existencia de las (k, g) -jaulas con similitudes a los textos canónicos de Sachs y

65 Erdős en el estudio de las jaulas. Una demostración es no construc-
 66 tiva y la otra es constructiva. También veremos como las ideas aquí
 67 presentadas pueden utilizarse para probar la existencia de familias de
 68 (k, g) -gráficas que cumplen una propiedad adicional, como ser hamilto-
 69 niana.

70 Ahora, la pregunta sobre el orden de las (k, g) -jaulas es un problema
 71 abierto para la mayoría de las parejas de enteros $k \geq 2$ y $g \geq 3$ y ha
 72 generado muchos grupos de investigación en todo el mundo. Piensa,
 73 por ejemplo, en la $(3, 4)$ -jaula. La figura 1 muestra una $(3, 4)$ -gráfica
 74 de orden ocho, pero la $(3, 4)$ -jaula sólo tiene seis vértices. Dicha jaula
 75 se puede representar como un hexágono regular con sus tres diagonales
 76 del tamaño del diámetro de la circunferencia circunscrita al hexágono.
 77 Una de las referencias más citadas para conocer las múltiples cotas
 78 existentes y las variadas técnicas para probar que lo son es el *Dynamic*
 79 *Cage Survey* de Exoo y Jajcay [6].

80 2. Método de Erdős y Sachs

81 En esta sección presentamos una prueba no constructiva de la exis-
 82 tencia de las (k, g) -gráficas. La demostración que aparece aquí no es
 83 la prueba que aparece en el artículo de Erdős y Sachs [5]; en esa se
 84 emplea inducción matemática. Sin embargo, las ideas que aparecen en
 85 esta prueba tienen un espíritu similar a las utilizadas en el artículo de
 86 Erdős y Sachs [5].

87 La siguiente demostración se la enseñó Victor Neumann a Diego
 88 cuando era su alumno de licenciatura y estudiaban las (k, g) -jaulas.
 89 Un día, Diego le dijo a Victor que no podía leer la prueba de la existen-
 90 cia de las jaulas porque estaba en alemán. Victor, que sabía alemán, se
 91 comprometió a leer la prueba y explicársela la semana siguiente. Diego
 92 siempre creyó que la demostración que Victor le había explicado siete
 93 días después era la que aparecía en el artículo en alemán de Erdős y
 94 Sachs. Sin embargo, al escribir este artículo y revisar la versión original
 95 y la traducción literal de esta prueba que aparece en el apéndice del
 96 *Dynamic Cage Survey* de Exoo y Jajcay [6], se dió cuenta de que la
 97 demostración es diferente. Creemos que esta versión es más accesible y
 98 respeta las ideas de la prueba publicada en alemán por Erdős y Sachs,
 99 y por este motivo la presentamos a continuación.

Teorema 2.1 (Existencia de las jaulas). *Dados dos enteros $k \geq 3$ y $g \geq 3$, existe una (k, g) -jaula y*

$$\nu(k, g) \leq 2(k-1) + \sum_{i=1}^{g-2} (k-1)^i + \sum_{i=1}^{g-1} (k-1)^i.$$

Demostración. Sean $k \geq 3$ y $g \geq 2$ enteros, y sea

$$n = 2(k-1) + \sum_{i=1}^{g-2} (k-1)^i + \sum_{i=1}^{g-1} (k-1)^i.$$

100 Ahora, considera el conjunto \mathcal{G} compuesto por todas las gráficas de
 101 orden n , cuello g y grado máximo a lo más k . Se puede ver que $\mathcal{G} \neq \emptyset$,
 102 ya que la gráfica que formada por un ciclo de longitud g y $n-g$ vértices
 103 aislados pertenece a \mathcal{G} .

Para cada gráfica G en \mathcal{G} definimos el conjunto $M(G)$ formado por los vértices de grado menor a k , así

$$M(G) = \{v \in V(G) \mid d(v) < k\}.$$

104 Y, denotamos por $m(G)$ a la distancia máxima entre los vértices de
 105 $M(G)$.

106 De entre todas las gráficas en \mathcal{G} elegimos una gráfica G con el mayor
 107 número de aristas, que maximiza la cardinalidad de $M(G)$ y que sujeta
 108 a estas condiciones cumpla que la distancia $m(G)$ sea la más grande
 109 posible. Si logramos ver que $M(G) = \emptyset$, entonces la demostración estará
 110 terminada.

111 Sean u y v vértices en $M(G)$ tales que $d(u, v) = m(G)$ (si $|M(G)| = 1$,
 112 entonces $u = v$ y $d(u, v) = m(G) = 0$).

113 Afirmamos que $m(G) \leq g-2$. Si $m(G) \geq g-1$, entonces la gráfica
 114 que se obtiene al agregar a G la arista uv tiene más aristas que G y
 115 mantiene el cuello g (pues estamos suponiendo que $d(u, v) \geq g-1$) y
 116 como $d_G(u) < k$ y $d_G(v) < k$, entonces $G + uv$ es una gráfica en \mathcal{G} con
 117 más aristas que G , lo cual no es posible.

118 Utilicemos W para denotar al conjunto de todos los vértices w de G
 119 tales que $d(u, w) \leq g-2$ o $d(v, w) \leq g-1$.

Nota que el número de vértices a distancia a lo más $g-2$ de u tiene cardinalidad a lo más

$$1 + \sum_{i=1}^{g-2} (k-1)^i.$$

De igual manera, los vértices a distancia a lo más $g-1$ de v son a lo más

$$1 + \sum_{i=1}^{g-1} (k-1)^i.$$

Por lo tanto,

$$|W| \leq 2 + \sum_{i=1}^{g-2} (k-1)^i + \sum_{i=1}^{g-2} (k-1)^i.$$

120 Como $n > |W|$, existe x en $V(G)$ que no pertenece a W . Entonces,
 121 $d(u, x) \geq g-1$ y $d(v, x) \geq g$. Como $d(u, x) \geq g-1 > m(G)$, tenemos que

122 $x \notin M(G)$ y por lo tanto $d(x) = k$. Por hipótesis $k \geq 3$, entonces existe
 123 una arista e incidente a x tal que al quitarla de G no alteramos el cuello.
 124 Supongamos que $e = xx'$. Como $d(v, x') \geq d(v, x) - 1 \geq g - 1 > m(G)$
 125 se sigue que $x' \notin W$ y $d(x') = k$.

126 Tomemos la gráfica $G^* = G - xx' + ux$. Observa que G^* pertenece a
 127 \mathcal{G} y como $|E(G^*)| = |E(G)|$, entonces tiene el máximo posible número
 128 de aristas. Además, $x' \in M(G^*)$ (pues perdió una arista) y $M(G^*)$
 129 contiene a todos los vértices de $M(G)$, con la posible excepción de
 130 u . Como $|M(G^*)| \leq |M(G)|$ (pues así escogimos a G), se sigue que
 131 $u \notin M(G^*)$. Por lo tanto $d_{G^*}(u) = k$ y $|M(G^*)| = |M(G)|$.

132 Si $|M(G^*)| = 1$, entonces $M(G^*) = \{x'\}$ y se sigue que $M(G) = \{u\}$
 133 y $u = v$. Como $d_{G^*}(u) = k$, entonces $d_G(u) = k - 1$. Por lo tanto G
 134 tiene exactamente un vértice de grado $k - 1$ y $n - 1$ vértices de grado
 135 k . Entonces $k - 1$ y $n - 1$ ¹ son pares, pero como n es múltiplo de $k - 1$
 136 obtenmos una contradicción.

137 Si $|M(G^*)| \geq 2$, entonces $v, x' \in M(G^*)$ y $d_{G^*}(v, x') \leq m(G^*) \leq$
 138 $m(G) \leq g - 2$.

139 Sea P una vx' -trayectoria de longitud mínima en G^* . Si P está con-
 140 tenida en G , entonces tendría longitud al menos $g - 1$, lo cual es una
 141 contradicción. Entonces P contiene la arista ux . Entonces P tiene una
 142 vu -trayectoria contenida en G de longitud al menos $m(G)$ o una vx -
 143 trayectoria contenida en G de longitud al menos $g > m(G)$. En los dos
 144 casos la longitud de P es más grande que $m(G^*)$, que es una contradic-
 145 ción. Por lo tanto $M(G) = \emptyset$. \square

146 3. Método de Sachs

147 Si bien el método de la sección anterior nos permite demostrar la exis-
 148 tencia de las (k, g) -gráficas para cualquier par de valores enteros $k \geq 3$
 149 y $g \geq 3$, no nos permite encontrar cuáles son las (k, g) -gráficas. En esta
 150 sección, veremos una forma de construirlas de manera inductiva.

151 Julio hizo esta adaptación de la demostración de la existencia de
 152 las (k, g) -gráficas en el artículo de Sachs cuando empezó a estudiar las
 153 jaulas con Gabriela Araujo Pardo durante la licenciatura. Se dió cuen-
 154 ta que aunque existía una tradición larga del estudio de las jaulas en
 155 México, las personas con las que habló no conocían los detalles de la
 156 construcción de Sachs [7]. En ese momento, le parecía imperativo en-
 157 tender la construcción de Sachs de las (k, g) -gráficas pese a que tienen
 158 más vértices que las cotas superiores conocidas del número de vérti-
 159 ces de las (k, g) -jaulas. Esto se debía a que intentaría construir otras

¹Este hecho se sigue de que en toda gráfica el número de vértices de grado impar siempre es par

160 gráficas con menos vértices a partir de las de Sachs usando las técnicas
 161 que había aprendido de Gaby sobre cómo construir gráficas con menos
 162 vértices a partir de las gráficas que se obtienen de geometrías finitas,
 163 ver [1, 2].

164 La construcción que presentó Sachs, hasta donde sabemos, es la única
 165 construcción de una (k, g) -gráfica que no utiliza herramientas algebrai-
 166 cas. Para ver construcciones algebraicas de (k, g) -gráficas se recomienda
 167 revisar los trabajos de Biggs [3, 4]. A diferencia de la demostración de
 168 Sachs, esta construcción no admite aristas múltiples y consideramos
 169 que es más accesible.

170 **Teorema 3.1** (Sachs). *Dados dos enteros $k \geq 2$ y $g \geq 3$, existe una*
 171 *(k, g) -gráfica G , la cual tiene un ciclo hamiltoniano².*

172 *Demostración.* Para $k = 2$ y $g \geq 3$, el ciclo de longitud g cumple con
 173 las condiciones del teorema. Ahora, para $k = 3$ y $g = 3$, la gráfica
 174 completa K_{k+1} , también satisface el teorema.

175 Probaremos el resto del teorema utilizando una doble inducción. Pri-
 176 mero hagamos inducción sobre g . Tomemos como primera hipótesis
 177 de inducción que existe una (k, g) -gráfica para todo par de enteros
 178 $3 \leq g < g_0$ y $k \geq 2$. Demostremos que si se cumple ésta hipótesis,
 179 entonces existe una (k, g_0) -gráfica para cualquier entero $k \geq 2$. Para
 180 ésto, haremos inducción sobre k . Así, tomemos como segunda hipótesis
 181 de inducción que existe una (k, g_0) -gráfica para todo entero $2 \leq k < k_0$.
 182 Demostraremos que si se cumple esta segunda hipótesis, entonces existe
 183 una (k_0, g_0) -gráfica. Dado que ya se sabe que existen (k, g) -gráficas para
 184 $g = 3$ y $k = 2$, los casos base de ambas inducciones están cubiertos y
 185 se puede asumir que $g_0 > 3$ y que $k_0 > 2$.

186 Por la segunda hipótesis de inducción existe una gráfica, G^* , que es
 187 $(k_0 - 1)$ -regular, tiene cuello g_0 y es hamiltoniana. Sean d_1, d_2, \dots, d_r los
 188 vértices de un ciclo hamiltoniano G^* , al cuál denotaremos por $C(G^*)$,
 189 donde los subíndices están en orden cíclico respecto al ciclo hamil-
 190 toniano. Ahora, por la primera hipótesis de inducción se sabe que
 191 existe una gráfica, H , r -regular, hamiltoniana con cuello $g_0 - 1$. Sean
 192 v_1, v_2, \dots, v_s los vértices de un ciclo hamiltoniano de H , al cual denota-
 193 remos por $C(H)$, y donde los subíndices están en orden cíclico respecto
 194 al ciclo hamiltoniano.

195 Sean G_1^*, \dots, G_s^* copias (gráficas isomórfas³) de G . Para todo $i \in$
 196 $\{1, 2, \dots, s\}$, sean $d_{i1}, d_{i2}, \dots, d_{ir}$ una forma de etiquetar los vértices de
 197 G_i^* de manera que la función $\tau_i : \{d_1, d_2, \dots, d_r\} \rightarrow \{d_{i1}, d_{i2}, \dots, d_{ir}\}$,

²Una gráfica G es hamiltoniana si contiene un ciclo que utiliza a todos los vértices de G . Un ciclo que utiliza a todos los vértices de una gráfica se conoce como ciclo hamiltoniano.

³Una gráfica isomorfa, F , de F^* es una gráfica tal que existe una función biyectiva $f : V(F) \rightarrow V(F^*)$ con la propiedad de que $(u, v) \in E(F)$ si y solo si $(f(u), f(v)) \in E(F^*)$. Toda función f que cumple las condiciones de la oración anterior se conoce como un isomorfismo entre F y F^* .

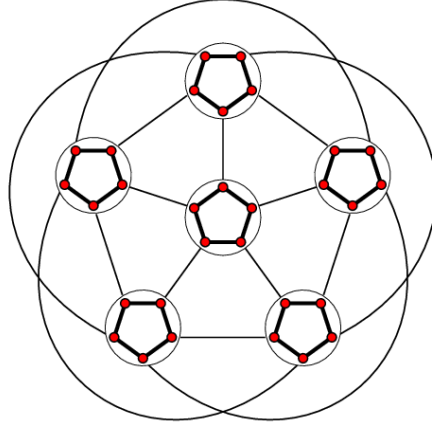


Figura 2. Construcción de las aristas para $G^* = C_5$ y $H = K_6$ en [6]

198 definida como $\tau_i(d_j) = d_{ij}$, es un isomorfismo entre G^* y G_i^* . Es inme-
 199 diato de la definición que $d_{i1}, d_{i2}, \dots, d_{ir}$ (en ese orden) son los vértices
 200 de un ciclo hamiltoniano, $C(G_i^*)$, de G_i^* , para toda $i \in \{1, 2, \dots, s\}$.

201 Ahora vamos a construir una (k_0, g_0) -gráfica hamiltoniana, que llama-
 202 remos G . Como observación (y para que exista una imagen clara de
 203 la construcción de G), la idea es reemplazar los vértices de H por copias
 204 de G^* y colocar las aristas correspondientes a H de manera adecuada,
 205 ver figura 2. Sea G la gráfica cuyos vértices son la unión de los vértices
 206 de las copias G_1^*, \dots, G_s^* . Las adyacencias de G se crean de la siguiente
 207 manera:

- 208 1. d_{ij} será adyacente a los vértices adyacentes que tiene en G_i^* , para
 209 toda $i \in \{1, 2, \dots, s\}$ y cualquier $j \in \{1, 2, \dots, r\}$.
2. d_{xr} será adyacente a $d_{(x+1)1}$, para toda $x \in \{1, 2, \dots, s-1\}$.
 Además, d_{sr} será adyacente a d_{11} . Estas aristas representan a
 $C(H)$. Observe que los dos primeros puntos implican que

$$(d_{11}, d_{12}, \dots, d_{1r}, d_{21}, d_{22}, \dots, d_{2r}, d_{31}, \dots, d_{(s-1)r}, d_{s1}, \dots, d_{sr}, d_{11})$$

210 es un ciclo hamiltoniano.

- 211 3. Definimos $G'_i = G_i^* - d_{i1} - d_{ir}$ para todo $i \in \{1, 2, \dots, s\}$. El
 212 número de vértices de G' es $r-2$ y el grado de cada vértice en H
 213 menos los dos grados del ciclo hamiltoniano es $r-2$. Por tanto,
 214 es posible escoger aristas de los vértices de G de tal forma que si
 215 $v_x v_y \in E(H) \setminus C(H)$, entonces existe una arista de v'_x a v'_y con
 216 $v'_x \in V(G'_x)$ y $v'_y \in V(G'_y)$ y de tal forma que estas nuevas aristas
 217 se distribuyan de manera que cada vértice de G'_1, G'_2, \dots, G'_s sea
 218 adyacente a exactamente otro vértice.

Dado que cada vértice tiene $k_0 - 1$ vecinos de la copia G^* en la que
 está y un vecino a otra copia de G^* por las reglas de incidencia dadas por

H , entonces cada vértice tiene k_0 vecinos. Además, por construcción,

$$(d_{11}, d_{12}, \dots, d_{1r}, d_{21}, d_{22}, \dots, d_{2r}, d_{31}, \dots, d_{(s-1)r}, d_{s1}, \dots, d_{sr}, d_{11})$$

219 es un ciclo hamiltoniano.

220 Ahora, dado un ciclo \mathcal{C} con el menor número posible de vértices en G
 221 hay dos posibilidades: 1) que todos sus vértices estén en G_i^* , para algún
 222 $i \in \{1, 2, \dots, s\}$ o 2) que no lo estén. En el primer caso es suficiente
 223 con recordar que el cuello de G_i^* es g_0 para ver que \mathcal{C} tiene al menos
 224 g_0 aristas. Para el segundo caso basta notar que se puede crear una
 225 trayectoria cerrada en H, \mathcal{C}' , a partir de \mathcal{C} . Para construir \mathcal{C}' basta
 226 con tomar un vértice por cada copia de G y las aristas $v_x v_y$ entre esos
 227 vértices corresponden a cada transición en \mathcal{C} entre un vértice de G_x^* a
 228 uno en G_y^* . Dado que el cuello de H es g_0 , entonces \mathcal{C}' tiene al menos
 229 g_0 aristas. Por tanto, \mathcal{C} tiene al menos g_0 aristas (pues tiene las aristas
 230 de transición entre copias de G más aristas dentro de cada copia). Por
 231 tanto, el cuello de G es al menos g_0 . No obstante, como cualquier ciclo
 232 mínimo de G_1^* está en G , entonces existe un ciclo de g_0 aristas (el cuello
 233 de G_1^*) en G . En conclusión, el cuello de G es g_0 , con lo que se termina
 234 el paso inductivo. \square

235 4. Perspectivas de investigación

236 Las dos demostraciones presentadas en este artículo contienen ideas que
 237 pueden ser útiles para demostrar la existencia de gráficas que cumplen
 238 con ciertas propiedades. Las ideas aquí descritas fueron utilizadas en
 239 un artículo reciente que escribimos conjuntamente con Gabriela Araujo-
 240 Pardo, Julián Fresán, Linda Lesniak y Mika Olsen [?]. En dicho texto,
 241 utilizamos las técnicas de ambas demostraciones para probar la existen-
 242 cia de familias infinitas de (k, g) -gráficas que, además, tienen un número
 243 cromático dado.⁴ Es decir, resolvimos el problema de la existencia de
 244 gráficas para algunos valores de tres funciones clásicas: la regularidad,
 245 el cuello y el número cromático.

246 Nuestra investigación reciente nos hizo reevaluar los ejercicios reali-
 247 zados en la licenciatura y volver a los textos canónicos de un área de las
 248 matemáticas (el estudio de jaulas en la teoría de gráficas) para explo-
 249 rar las ideas y construcciones que fueron olvidadas. Nos dimos cuenta
 250 de que esas ideas y construcciones pueden servir de inspiración para
 251 resolver problemas de investigación matemática actual. Crear espacios
 252 para estos ejercicios de memoria y de aprendizaje, entonces, puede con-
 253 vertirse en un camino importante para la formación matemática. A su
 254 vez, hacer el esfuerzo por identificar, nombrar y prestar atención a lo

⁴El número cromático de una gráfica es el menor número de colores necesarios para colorear los vértices de la gráfica de forma que no haya dos vértices adyacentes del mismo color.

255 que tomamos como conocimiento existente” puede enriquecer nuestra
256 investigación y darnos nuevos resultados y perspectivas.

257 Bibliografía

- 258 [1] G. Araujo-Pardo y J. J. Montellano-Ballesteros, «Cages: constructions and new upper
259 bounds», en *8th International Symposium on Parallel Architectures, Algorithms and*
260 *Networks (ISPAN'05)*, Dec 2005, doi:10.1109/ISPAN.2005.23, 4 pp.–.
- 261 [2] G. Araujo-Pardo, D. González, J. J. Montellano-Ballesteros, y O. Serra, «On upper
262 bounds and connectivity of cages», *Electronic Notes in Discrete Mathematics* vol. 28
263 (2007) 137 – 140, doi:https://doi.org/10.1016/j.endm.2007.01.019, 6th Czech-Slovak
264 International Symposium on Combinatorics, Graph Theory, Algorithms and Applica-
265 tions.
- 266 [3] N. L. Biggs, «Girth and residual finiteness», *Combinatorica* vol. 8 (1988) 307–312,
267 doi:/10.1007/BF02189087.
- 268 [4] ———, «Cubic graphs with large girth», *Combinatorial Mathematics: Proceedings*
269 *of the Third International Conference* vol. 555 (1989) 56–62, doi:/10.1111/j.1749-
270 6632.1989.tb22437.x.
- 271 [5] P. Erdős y H. Sachs, «Reguläre Graphen gegebener Tailenweite mit minimaler Kno-
272 tenzahl», *Wiss. Z. Uni. Halle (Math. Nat.)* vol. 12 (1963) 251–257.
- 273 [6] G. Exxo y R. Jajcay, «Dynamic Cage Survey», *The Electronic Journal of Combinatorics*
274 vol. DS16 (2013) 1–55, doi:10.37236/37.
- 275 [7] H. Sachs, «Regular Graphs with Given Girth and Restricted Circuits», *J. London Math.*
276 *Soc.* vol. s1-38 (1963) 423–429, doi:10.1112/jlms/s1-38.1.423.